

К. ф.-м. н. М. В. ДМИТРИЕВ

Украина, г. Одесса

Дата поступления в редакцию

21.04 1997 г.

Оппонент к. х. н. В. Н. ВОЛКОВ

ВЛИЯНИЕ КОНЦЕНТРАЦИИ КОМПОНЕНТОВ И ПОР НА ДИЭЛЕКТРИЧЕСКИЕ ПОТЕРИ В СТЕКЛОКЕРАМИКЕ

Приводятся подтвержденные экспериментом расчеты диэлектрических потерь в стеклокерамике и в ее компонентах для широкого диапазона соотношений «стекло : наполнитель : поры».

The confirmed by experiments calculations of dielectric losses in glass ceramic and its components for a wide range of relationship "glass : filler : pores" are adduced.

Стеклокерамические композиционные материалы (СКМ), благодаря их экономическим, технологическим и в ряде случаев техническим преимуществам, успешно заменяют керамику в электронике и в электротехнике. Однако широкому применению СКМ препятствует недостаток сведений о влиянии различных факторов на физические свойства СКМ и об использовании теоретических методов, ускоряющих поиск материала с нужными параметрами.

Известны теории, позволяющие определить параметры многокомпонентных композитов [1–7], однако трудность осуществления подобных расчетов состоит в отсутствии сведений о параметрах отдельных компонентов композиционного материала, образцы которых невозможно изготовить для исследования.

Целью данной работы является проверка применимости теорий [5–7] для расчета диэлектрических потерь в СКМ и оценка влияния на них концентрации компонентов и пор. Для проведения такого исследования применен тот же подход, что и в [8], сочетающий экспериментальные и теоретические разработки.

Для исследований использован простейший модельный СКМ на основе одного стекла в качестве матрицы и одного функционального наполнителя при широких диапазонах температуры спекания и концентрации пор. Для этой цели применялись промышленное стекло С51-1 (СТП ПАЩ.027.015.78) и глинозем ГН-1 (ГОСТ 6912–87), содержащий 95% $\alpha\text{-Al}_2\text{O}_3$.

Методики изготовления образцов и измерений приведены в [8]. Тангенс угла диэлектрических потерь определялся с помощью измерителя Е7-12 на частоте 1 МГц.

Результаты экспериментов. На рис. 1 приведены графики экспериментальной зависимости тангенса угла диэлектрических потерь в СКМ ($\text{tg}\delta$) и линейной усадки при спекании (Δl_0) от величины температуры спекания $t_{\text{сп}}^0$ для одного состава: массовая доля стекла $m_c=0,8$, наполнителя — $m_n=0,2$. При температуре спекания, превышающей 800°C , нарушалась форма образцов из-за их оплавления.

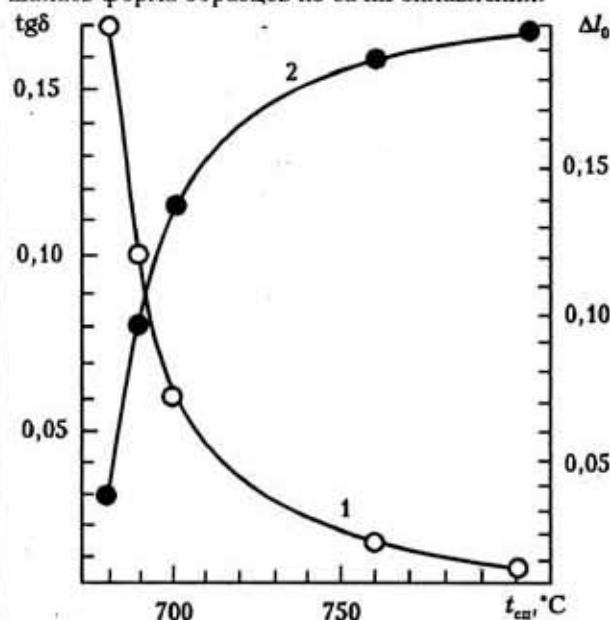


Рис. 1. Экспериментальная зависимость $\text{tg}\delta$ (1) и линейной усадки (2) от температуры спекания для СКМ с $m_c=0,8$

На рис. 2 приведены графики экспериментальной зависимости диэлектрических потерь от линейной усадки СКМ постоянного состава (1) и от массового содержания стекла при одинаковой линейной усадке (2). Наблюдаемый разброс величин $\text{tg}\delta$ (зависимость 2) обусловлен разбросом величины Δl_0 и погрешностью измерительного прибора, проявляющейся острее при малых значениях $\text{tg}\delta$.

Результаты расчетов. Приведенные экспериментальные данные не достаточны для определения $\text{tg}\delta$ по существующим теориям. Это видно из формул для многокомпонентных композитов, записанных для трехкомпонентного СКМ по теориям: Ландау и Лифшица [5, с. 69]

$$\text{tg}\delta^{1/3} = y_n \text{tg}\delta_n^{1/3} + y_c \text{tg}\delta_c^{1/3} + y_p \text{tg}\delta_p^{1/3}; \quad (1)$$

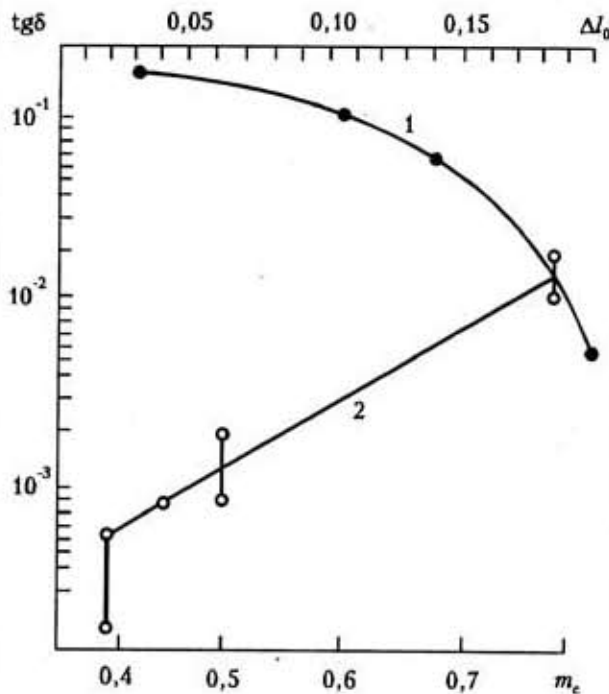


Рис. 2. Экспериментальная зависимость $tg\delta$ от линейной усадки для СКМ с $m_c=0,8$ (1) и от массового содержания стекла при $\Delta I_0=0,188\pm 0,002$ (2)

Баера [6, с. 174]

$$tg\delta^{1/2} = y_n tg\delta_n^{1/2} + y_c tg\delta_c^{1/2} + y_p tg\delta_p^{1/2}; \quad (2)$$

Лихтенеккера и Ротера [7]

$$\ln tg\delta = y_n \ln tg\delta_n + y_c \ln tg\delta_c + y_p \ln tg\delta_p, \quad (3)$$

где y — объемная концентрация соответствующего компонента; индексы n, c, p — наполнитель, стекло и поры, соответственно.

Объемные концентрации компонентов СКМ определяются по формулам (8), (12) и (13) работы [8]. Полученные результаты сведены в табл. 1.

Таблица 1

Расчетные значения объемной концентрации компонентов СКМ при различной массовой доле стекла

| y_n | $m_c=0,40$ | | $m_c=0,45$ | | $m_c=0,50$ | | $m_c=0,80$ | |
|-------|------------|-------|------------|-------|------------|-------|------------|-------|
| | y_n | y_c | y_n | y_c | y_n | y_c | y_n | y_c |
| 0,420 | 0,300 | 0,280 | 0,271 | 0,309 | 0,242 | 0,338 | 0,088 | 0,492 |
| 0,287 | 0,369 | 0,344 | 0,333 | 0,380 | 0,297 | 0,416 | 0,108 | 0,605 |
| 0,182 | 0,423 | 0,395 | 0,382 | 0,436 | 0,342 | 0,476 | 0,123 | 0,685 |
| 0,028 | 0,503 | 0,469 | 0,453 | 0,519 | 0,406 | 0,566 | 0,148 | 0,824 |
| 0 | 0,518 | 0,482 | 0,467 | 0,533 | 0,418 | 0,582 | 0,152 | 0,848 |

Для нахождения величин $tg\delta_n$, $tg\delta_c$ и $tg\delta_p$ воспользуемся методикой и формулами для расчета диэлектрической проницаемости ϵ [8, (17)–(25)]*.

Используя экспериментальные значения величин $tg\delta$ (рис. 2, кривая 2) для СКМ двух составов одинаковой пористости и соответствующие этим составам y_c и y_n (табл. 1), из формул [8, (17)–(19)] получим значение $tg\delta_n=10^{-5}$.

* В дальнейшем при использовании методики определения диэлектрической проницаемости [8] в формулы для расчета вместо ϵ подставляем $tg\delta$.

Таблица 2
Расчетные значения $tg\delta_{cn}$ в пористом стекле с $tg\delta_n=10^{-5}$ и $m_c=0,8$ при различной объемной концентрации пор

| ΔI_0 | y_n | $tg\delta_{экс}$ | $tg\delta_{cn}$ по формулам (см. [8]) | | |
|--------------|-------|------------------|---------------------------------------|-------|-------|
| | | | (20) | (21) | (22) |
| 0,036 | 0,420 | 0,17 | 0,221 | 0,205 | 0,435 |
| 0,100 | 0,287 | 0,103 | 0,144 | 0,129 | 0,316 |
| 0,140 | 0,182 | 0,060 | 0,087 | 0,078 | 0,203 |
| 0,188 | 0,028 | 0,013 | 0,023 | 0,018 | 0,045 |
| 0,196 | 0 | 0,007 | 0,011 | 0,010 | 0,022 |

Таблица 3

Диэлектрические потери в СКМ с $y_n=0,028$ при различной массовой доле стекла

| m_c | $tg\delta_{экс}$ | $tg\delta_{рас}$ по формулам (см. [8]) | | |
|-------|------------------|--|--------|---------|
| | | (23) | (24) | (25) |
| 0,40 | 0,00065 | 0,0035 | 0,0040 | 0,00065 |
| 0,45 | 0,0010 | 0,0045 | 0,0055 | 0,0010 |
| 0,50 | 0,0014 | 0,0059 | 0,0066 | 0,0015 |
| 0,80 | 0,013 | 0,015 | 0,015 | 0,013 |

Эта величина для измельченного глинозема ГН-1 согласуется с рядом известных значений $tg\delta$ для алюмооксидной керамики с разным содержанием добавок и пор, ухудшающих диэлектрические потери: у керамики ВК94 (22ХС) — $5 \cdot 10^{-4}$, у поликора — $1 \cdot 10^{-4}$, у ГВ-7 — $1 \cdot 10^{-4}$, у миналунда — $2 \cdot 10^{-4}$ [9, с. 116].

Заметим, что попытка определения $tg\delta_n$ на основе теорий [5, 6] не увенчалась успехом.

Используя найденное значение $tg\delta_n$ и экспериментальные значения $tg\delta$, определим величины диэлектрических потерь в пористом стекле $tg\delta_{cn}$ по формулам [8, (20)–(22)]. Результаты этих вычислений приведены в табл. 2. На рис. 3 изображена зависимость $tg\delta_{cn}(y_n)$, рассчитанная по формуле [8, (22)].

Из табл. 2 следует, что величины $tg\delta_{cn}$, найденные с помощью [8, (20) и (21)], близки по величине и ощутимо отличаются от значений $tg\delta_{cn}$, полученных с помощью [8, (22)].

Теперь определим диэлектрические потери в СКМ по формулам [8, (23)–(25)], используя найденные значения $tg\delta_n$ и $tg\delta_{cn}$.

Результаты расчета для случая, когда $y_n=0,028$, сведены в табл. 3, где для сравнения приведены соответствующие экспериментальные данные.

Для определения диэлектрических потерь отдельно в стекле и в порах учтем, что в зависимости $tg\delta(y_c)$ при фиксированных t^0_{cn} , ΔI_0 и y_n одинаковыми при всех y_c являются величины $tg\delta_n$, а также $tg\delta_c$. Это обусловлено одинаковыми температурными условиями формирования пор и стекла при всех значениях y_c .

Величину $tg\delta_n$ определим, используя экспериментальные или рассчитанные значения $tg\delta_1$ и $tg\delta_2$ для СКМ двух составов (табл. 3), а также соответ-

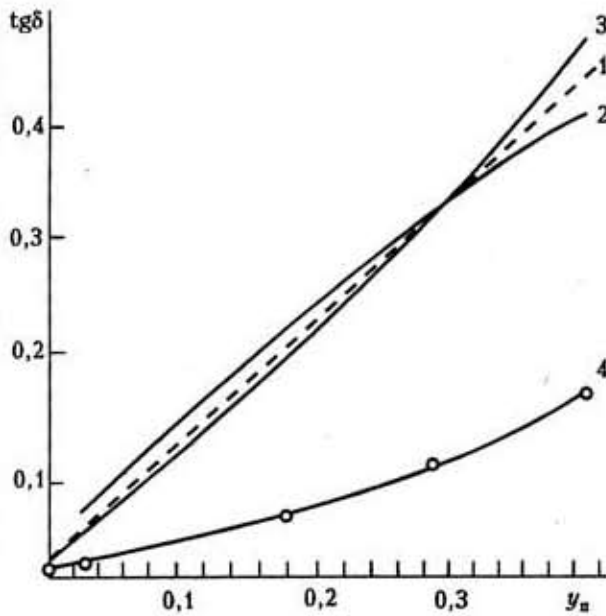


Рис. 3. Расчетная зависимость $\text{tg}\delta$ от концентрации пор в пористом стекле (1), порах (2), стекле (3) и экспериментальная в СКМ (4) для $m_c=0,8$

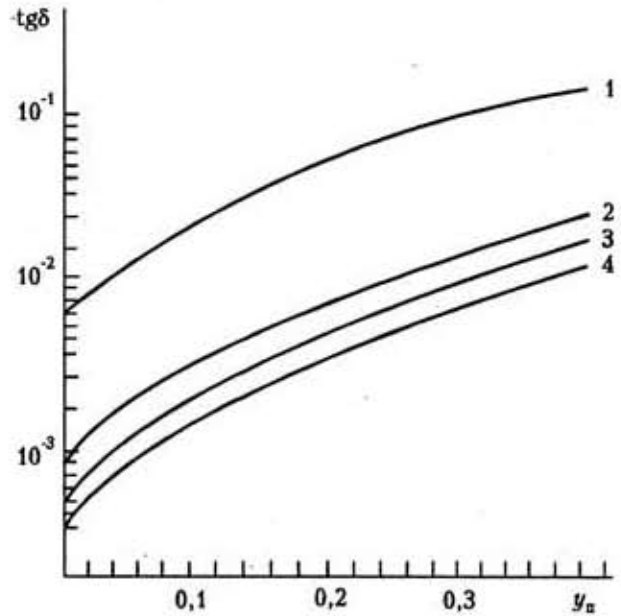


Рис. 4. Расчетная зависимость $\text{tg}\delta$ от концентрации пор в СКМ при разных значениях m_c : 0,8 (1); 0,5 (2); 0,45 (3); 0,4 (4)

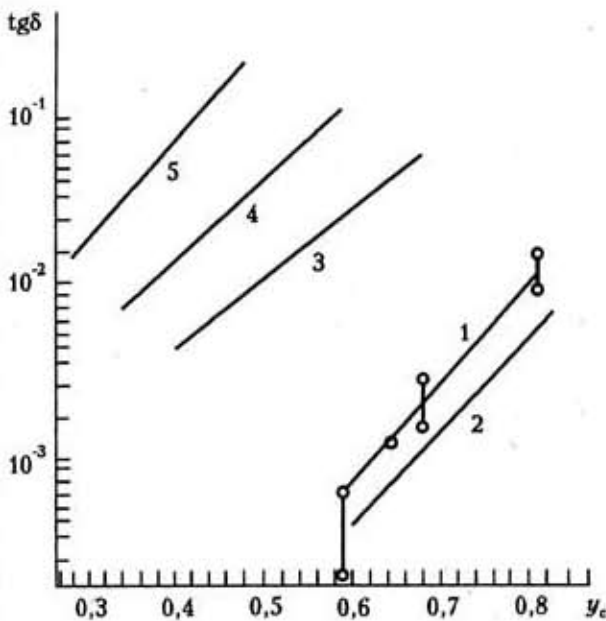


Рис. 5. Расчетная зависимость $\text{tg}\delta$ от объемного содержания стекла при разной объемной доле пор: 0,028 (1; точки – эксперимент); 0 (2); 0,182 (3); 0,287 (4); 0,420 (5)

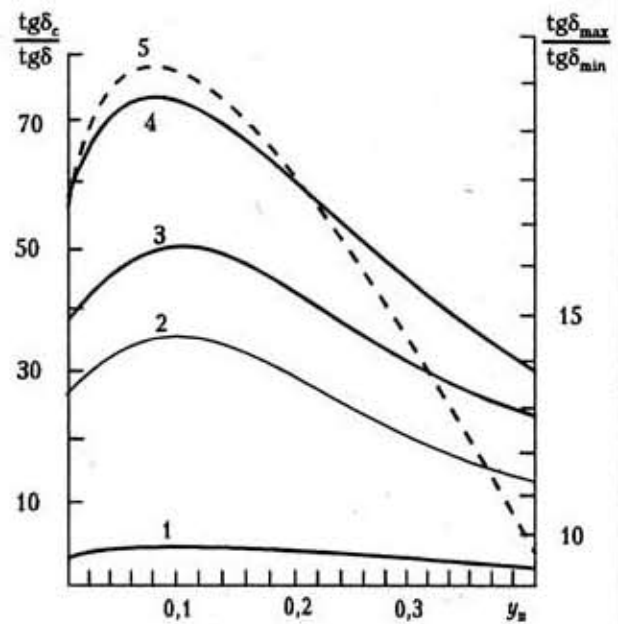


Рис. 6. Расчетная зависимость отношения $\text{tg}\delta_c/\text{tg}\delta$ от объемной концентрации пор для $y_c/y_n=5,6$ (1); 1,4 (2); 1,14 (3); 0,93 (4); $\text{tg}\delta_{\text{max}}/\text{tg}\delta_{\text{min}}$ (5)

ствующие им объемные концентрации y_{c1} , y_{c2} , y_{n1} и y_{n2} (табл. 1).

Таким образом, с учетом вышесказанного получим из (3) систему уравнений

$$\begin{cases} y_{c1} \ln \operatorname{tg} \delta_c = \ln \operatorname{tg} \delta_1 - y_{n1} \ln \operatorname{tg} \delta_n - y_n \ln \operatorname{tg} \delta_n; & (4) \\ y_{c1} \ln \operatorname{tg} \delta_c = \ln \operatorname{tg} \delta_2 - y_{n2} \ln \operatorname{tg} \delta_n - y_n \ln \operatorname{tg} \delta_n. & (5) \end{cases}$$

Решим систему относительно $\operatorname{tg} \delta_n$. Опустив промежуточные преобразования, получим:

$$\ln \operatorname{tg} \delta_n = \frac{y_{c1} \ln \operatorname{tg} \delta_2 - y_{c2} \ln \operatorname{tg} \delta_1 + (y_{c2} y_{n1} - y_{c1} y_{n2}) \ln \operatorname{tg} \delta_n}{y_n (y_{c1} - y_{c2})} \quad (6)$$

Используя найденные значения $\operatorname{tg} \delta_n$, определим величины $\operatorname{tg} \delta_c$ по формуле

$$\ln \operatorname{tg} \delta_c = \frac{(y_c + y_n) \ln \operatorname{tg} \delta_c - y_n \ln \operatorname{tg} \delta_n}{y_c} \quad (7)$$

Результаты расчета $\operatorname{tg} \delta_n$ и $\operatorname{tg} \delta_c$ приведены на рис. 3 и в табл. 4.

Расчитанные значения $\operatorname{tg} \delta_c$ и $\operatorname{tg} \delta_n$ позволяют определить величины $\operatorname{tg} \delta$ в СКМ при разных объемных концентрациях стекла, наполнителя и пор по формуле (3). Результаты этих расчетов представлены в табл. 4 и на рис. 4 и 5. Такие же результаты получаются и при расчете $\operatorname{tg} \delta$ в СКМ по формуле [8, (25)].

Выводы. Существенное расхождение между экспериментом и расчетами $\operatorname{tg} \delta_{\text{рас}}$ в СКМ по формулам [8, (23) и (24)] исключает использование теории Ландау и Лифшица [5] и теории Баера [6] для определения диэлектрических потерь в СКМ. Критерием применимости этих теорий является условие о не слишком больших отличиях величин параметров компонентов [6], что для $\operatorname{tg} \delta$ в СКМ оказалось невыполнимым.

Наблюдаемое совпадение с экспериментом результатов расчета величин $\operatorname{tg} \delta_{\text{рас}}$ по формуле [8, (25)] (табл. 3, рис. 5) позволяет использовать теорию Лихтенеккера и Ротера [7] для определения $\operatorname{tg} \delta$ в СКМ и дает основание считать достоверными расчеты по предложенному способу целого семейства зависимостей $\operatorname{tg} \delta_{\text{рас}}(y_c)$ при разных значениях y_n (табл. 4, рис. 4 и 5).

Из рис. 4 и табл. 4 следует, что поры при $y_n > 0,2$ увеличивают диэлектрические потери в СКМ более чем на порядок. Различие значений $\operatorname{tg} \delta$ для различных составов объясняется увеличением объемной доли наполнителя при снижении концентра-

ции стекла и, как следствие, — большим влиянием наполнителя на величину $\operatorname{tg} \delta$ в СКМ.

Из рис. 3 видно, что при $y_n \approx 0,29$ $\operatorname{tg} \delta_c = \operatorname{tg} \delta_n = \operatorname{tg} \delta_{\text{см}}$, при $y_n > 0,29$ $\operatorname{tg} \delta_c > \operatorname{tg} \delta_{\text{см}} > \operatorname{tg} \delta_n$ и при $y_n < 0,29$ $\operatorname{tg} \delta_c < \operatorname{tg} \delta_{\text{см}} < \operatorname{tg} \delta_n$.

Такое соотношение диэлектрических потерь, по-видимому, связано с переходом одной фазы спекания в другую: при $y_n > 0,29$ усадка СКМ происходит, в основном, за счет исключения крупных незамкнутых пор, а при $y_n < 0,29$ — за счет формирования и ухода из СКМ замкнутых пор. Во второй фазе спекания ($y_n < 0,29$) величина $\operatorname{tg} \delta_n$ в большей степени определяется диэлектрическими потерями на границе «газ — стекло», чем потерями в газе, заключенном в порах. На первой фазе спекания ($y_n > 0,29$) поры граничат не только со стеклом, но и с наполнителем (стеклянная матрица еще не сформировалась), который снижает $\operatorname{tg} \delta_n$ благодаря низкому значению $\operatorname{tg} \delta_n$ по сравнению со стеклом.

На рис. 3 для сопоставления с расчетными зависимостями приведена зависимость $\operatorname{tg} \delta(y_n)$ для случая, когда $m_c = 0,8$ и $m_n = 0,2$. Влияние наполнителя на диэлектрические потери в СКМ (рис. 3) проявляется в существенно меньших потерях в композиции, чем в стекле и порах за счет низкого $\operatorname{tg} \delta_n$. Мерой проявления такого влияния может служить отношение $\operatorname{tg} \delta_c / \operatorname{tg} \delta$. Большей величине этого отношения соответствует большее влияние наполнителя на величину диэлектрических потерь в СКМ.

Для оценки эффективности введения в СКМ функционального наполнителя необходимо найти отношение $\operatorname{tg} \delta_c / \operatorname{tg} \delta$ для разных объемных концентраций компонентов по данным табл. 4. Результаты такого расчета приведены на рис. 6. С увеличением доли стекла большим становится отношение y_c / y_n и меньше проявляется эффективность от введения наполнителя из-за уменьшения его доли. Поэтому становится меньше отношение $\operatorname{tg} \delta_c / \operatorname{tg} \delta$.

Сложный характер изменения концентрации и диэлектрических потерь в компонентах приводит к появлению экстремума в приведенных зависимостях. Уменьшение диэлектрических потерь в СКМ за счет наполнителя максимально проявляется в области экстремума.

Аналогичный характер носит и зависимость от y_n отношений $\operatorname{tg} \delta_{\text{max}} / \operatorname{tg} \delta_{\text{min}}$ (рис. 6), вычисленных из концентрационных зависимостей на рис. 5 для разных значений y_n . Это объясняется тем, что слож-

Таблица 4
Диэлектрические потери в порах, стекле и СКМ различного состава при разной объемной концентрации пор

| y_n | $\operatorname{tg} \delta_n$ | $\operatorname{tg} \delta_c$ | $\operatorname{tg} \delta$ | | | |
|-------|------------------------------|------------------------------|----------------------------|--------------|--------------|--------------|
| | | | $m_c = 0,40$ | $m_c = 0,45$ | $m_c = 0,50$ | $m_c = 0,80$ |
| 0,420 | 0,413 | 0,467 | 0,0176 | 0,0243 | 0,0327 | 0,172 |
| 0,287 | 0,318 | 0,315 | 0,0069 | 0,010 | 0,0146 | 0,104 |
| 0,182 | 0,217 | 0,197 | 0,0031 | 0,0047 | 0,0068 | 0,0595 |
| 0,028 | 0,0677 | 0,0441 | 0,00065 | 0,00099 | 0,0015 | 0,0129 |
| 0 | — | 0,022 | 0,00041 | 0,00060 | 0,00088 | 0,0069 |

ный характер изменения объемных концентраций и диэлектрических потерь в компонентах проявляется в разной степени для $\text{tg}\delta_{\text{max}}$ и $\text{tg}\delta_{\text{min}}$.

Из табл. 1 и 4 видно, что при $y_n > 0,2$ диэлектрические потери благодаря наполнителю уменьшаются на один и более порядков. В важном для практики случае, когда $y_n = 0$ и объемная концентрация y_n высока (в нашем случае $y_c / y_n = 0,93$), снижение диэлектрических потерь в СКМ по сравнению с диэлектрическими потерями в стекле С51-1 происходит в 54 раза (рис. 6, табл. 4). Кроме влияния наполнителя, этот эффект достигается за счет отсутствия пор, в которых диэлектрические потери намного выше, чем в наполнителе.

В заключение отметим, что полученные результаты могут быть полезными для выполнения расчетов в случае СКМ с большим количеством компонентов, а также с учетом структурных параметров.

ИСПОЛЬЗОВАННЫЕ ИСТОЧНИКИ

1. Привалко В. П., Новиков В. В., Яновский Ю. Г. Основы теплофизики и реофизики полимерных материалов. — Киев. : Наукова думка, 1991.

2. Дульнев Г. Н., Новиков В. В. Процессы переноса в неоднородных средах. — Л. : Энергоатомиздат, 1991.

3. Новиков В. В., Тартаковская Л. Н., Тризна Ю. П., Дмитриев М. В., Мищенко Т. Н. Диэлектрические свойства наполненного стеклокерамического материала // Инж.-физ. журнал. — 1990. — Т. 29, № 6. — С. 962–968.

4. Новиков В. В., Дмитриев М. В., Шаповалов И. П., Тартаковская Л. Н. Определение эффективных диэлектрических свойств стеклокерамики с учетом структурных параметров // Техника средств связи. Сер. Технология производства и оборудование. — 1987. — Вып. 3. — С. 48–59.

5. Ландау Л. Д., Лифшиц Е. М. Электродинамика сплошных сред. — М. : ГИТТЛ, 1957.

6. Тареев Б. М. Физика диэлектрических материалов. — М. : Энергоиздат, 1982.

7. Lichteneker K., Rother K. Die herleitung des logarithmischen mischungsgesetzes des allgemeinen prinzipien der stationaren strömung. // Physikalische Zeitschrift. — 1931. — N 6. — S. 3255–3267.

8. Дмитриев М. В. Влияние концентрации компонентов и пор на диэлектрическую проницаемость стеклокерамики // Технология и конструирование в электронной аппаратуре. — 1997. — № 4. — С. 34–38.

ПРЕДЛАГАЕТСЯ К СЕРИЙНОМУ ПРОИЗВОДСТВУ

Система двухсторонней радиосвязи для грузовых автомобилей в диапазоне СВ

Связь обеспечивается на частоте радиовещательной станции без нарушения качества вещания

Противоугонная автоматическая радиосистема с радиусом действия 500 м на частоте МВД около 35 МГц

Закодированная информация о марке машины, цвете, государственном номере посылается в виде пакетов радиоимпульсов

(Подобное устройство выпускается в Москве с 1992 г. и реализуется через МВД; очередь на установку таких устройств — 1 год.)

Высоковольтный прибор (до 4,5 кВ) испытание электрической прочности изоляции кабелей связи и определение расстояния до места повреждения

Всеполосные телевизионные антенны индивидуального и коллективного пользования

Прибор для измерения основных параметров одномодовых и многомодовых оптических кабелей

Приборы контроля состояния коммуникаций обнаружение и контроль всех типов подземных кабелей (в т. ч. и оптических), трубопроводов, измерение глубины залегания этих коммуникаций с цифровым отсчетом, определение ряда повреждений в кабелях; определение любой проводки в стенах здания, в т. ч. бетонных

Украина, 270026, г. Одесса,

ул. Бунина 31. УНИИРТ. Тел. (0482) 222 868, 229 041. Факс (0482) 224 583